#### ЛИТЕРАТУРА

- Шекян Г. Г. Проверка подинанняков качения электрических машин на ударопрочность//Сб. науч гр. ЕрПИ. сер. Машиносгросине.—1971 Т. 33, вып. V. С. 32—35.
- 2. Ватуся Г. С. Ияженерные методы неследования ударных процессор.— М. Мяшини строение, 1977.— 186 с
- Кожевников С. И. Теория механизмов и машин.— М.: Машиностроевие, 1973.
   256 с.
- 4 Микусинский Я. Н. Операторное нечисление М: ПЛ, 1965.—283 с

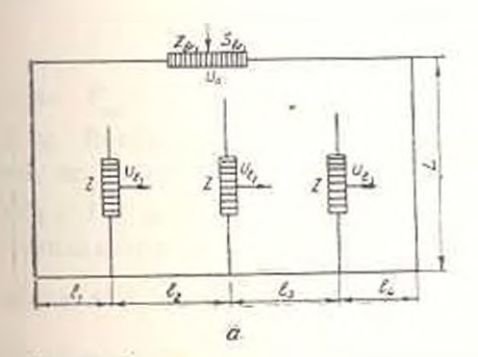
Иза АН АрмССР (сер. ГН), т. ХІ., № 6, 1987

СТРОИТЕЛЬНЫЕ КОНСТРУКЦИИ

### Ю. А. ГАСПАРЯН

## ВЛИЯНИЕ ВНУТРЕПНЕЙ ДИФРАКЦИОППОЙ РЕШЕТКИ РЕЗОНАТОРА НА ЕГО АКУСТИЧЕСКИЕ СВОИСТВА

Определение входного импеданса объемного инэкочастотного многорезонансного звукопоглотителя (ОМНРЗП) сложной конфигурации представляет известные трудности в связи с тем, что необходимо решить дифракционную задачу для волнового уравнения при сложных граничных условиях, а также рассеивание, отражение и трансформацию звуковых воли, величина звукопоглощения которых не поддается георетическому расчету [1]. Поэтому для проектирования ОМНРЗП широкое применение получили приближенные методы, основанные на упрощенных моделях передачи звука через резонаненый звуконоглотитель.



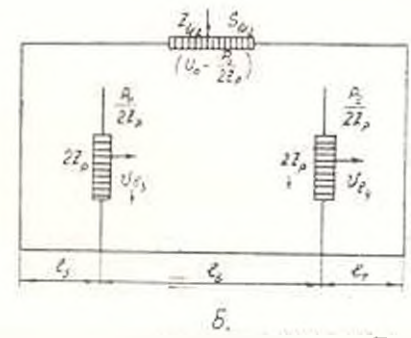


Рис. 1. Схема прохождения скорости и давления звуковой полны в ОМНРЗП: а, 6—трех — и двухрядной дифракционной решетки.

Комилексный импеданс системы акустического элемента (рис. 1), исходя из импеданса в точке приложения — входного поршии лицевой поверхности резонатора, импеданса излучения поршия и переходного импеданса с учетом площади иходных и лицевых отверстий будем иокать согласно рекомендациям [2, 3] и электроакустической аналогии.

Merod 1. В случае, если акустический резистанс импеданса входных и несоосных отверстий  $R_{bxi}$ ,  $R_i$ , ...,  $R_n$  можно принять равным нулю, получим следующие реактивные компоненты комплексного импеданса резонатора:

$$Y_{pH} = j W_0 \frac{S_{b,x_1,x}^2}{S_{x_1}^2} \left\{ Y_{b,x_1,x} + \left[ \sin^2 k l_x \left( Y_1 + \frac{1}{\sin^2 k l_x} \left( Y_2 + \frac{1}{\sin^2 k l_x} \left( Y_2 + \frac{1}{y_1 + \sin^2 k l_x} \right) \right) \right]^{-1} \right\}$$

где

$$Y_{1,2} = j (kM_p - \operatorname{ctg} kl_{1,2} - \operatorname{ctg} kl_{1,3});$$

$$Y_{3,4} = j \{ (kM_{p2,3} - \operatorname{ctg} kl_{3,4}) + \{ \sin^2 kl (k - j \operatorname{ctg} kl_{3,4}) \}^{-1} \}.$$
(1)

Метод 2. При установке двухрядной или трехрядной дискретной дифракционной решетки внутри резонирующей полости ОМНРЗП с одним входным отверстием диаметром  $D_1$  или двумя входными отверстиями диаметрами  $D_2(D_1 > D_2)$  и лицевой поверхности резонатора, когда ячейки дифрешетки связываются «параллельно» или «последовательно», параллельная связь расширяет полосу звукопоглощения и уменьшает максимум поглощения. Реактивные компоненты комплексного импеданса такой конструкции определяют из следующих выражений:

$$Y_{M_1} = j W_0 \frac{S_{ux_1}^2}{S_u^2} \cdot \frac{Y_{ux_1} Y_1 Y_2 Y_3 Y_4}{Y_1 Y_2 Y_3 + Y_2 Y_3 Y_4 + Y_1 Y_3 Y_4};$$

$$Y_{M_1} = j W_0 \frac{S_{ux_1}^2}{S_u^2} \cdot \frac{Y_{ux_2} Y_5 Y_6 Y_7}{Y_5 Y_6 + Y_6 Y_7 + Y_6 Y_7};$$

$$Y_{ext_1,2} = j \left[ \omega M_{ux_1,2} - \text{ctg}\left(\frac{2\pi L}{\lambda}\right) \right];$$

$$Y_{1,5} = j \left[ \omega M_{p_1} - \text{ctg}\left(\frac{2\pi l_{1,5}}{\lambda}\right) - \text{ctg}\left(\frac{2\pi l_{2,6}}{\lambda}\right) \right];$$

$$Y_{2,3,6} = j \left\{ Y_{1,5} - \text{ctg}^2\left(\frac{2\pi}{\lambda} \cdot \frac{l_2 + l_3}{l_2}\right) \left[ \omega M_{p_2} - \text{ctg}\left(\frac{2\pi}{\lambda} \cdot \frac{l_2 + l_3}{l_2}\right) - \text{ctg}\left(\frac{2\pi}{\lambda} \cdot \frac{l_3 + l_6}{l_6}\right) \right]^{-1} \right\};$$

$$(2)$$

$$Y_{4,7} = J \left\{ Y_{3,6} - \operatorname{ctg}^2 \left( \frac{2\pi}{\lambda} \cdot \frac{l_1 + l_0}{l_0} \right) \left[ \omega M_{\rho_1} - \operatorname{ctg} \left( \frac{2\pi}{\lambda} \cdot \frac{l_3 + l_0}{l_3} \right) - \operatorname{ctg} \left( \frac{2\pi}{\lambda} \cdot \frac{l_1 + l_2}{l_1} \right) \right]^{-1} \right\}.$$

Здесь  $S_{\rm nx}=44.15\,{\rm cm^2}$  при  $D_{\rm in}=7.5\,{\rm cm}$ ;  $S_{\rm ex}=41.1\,{\rm cm^2}$  при  $D_{\rm nx.}=5\,{\rm cm}$  и  $D_{\rm nx.}=(2\times3.75)\,{\rm cm}$ ,  $S_{\rm a}=625\,{\rm cm^2}-$  площади входных отверстий и лицевой поверхности резонатора: L=10 и  $20\,{\rm cm}-$  глубина резонирующей полости;  $I_{\rm in}$  ...,  $I_{\rm e}-$  шаг расположения перегородок ячейки дифракционной решеки для грехрядной  $I_{\rm e}=6.25\,{\rm cm}$  и для двух-

рядной решетки  $l_o=8.33\, c$ м;  $k=\frac{2\pi}{\lambda}=1.83\, 10^{-4} f$  волновое число;

 $W_a = \rho c = 42$  г см-с — волновое сопротивление воздуха.

Из уравнения (2) следует, что акустический резистанс системы возрастает вблизи резонанса задней нолости, когла мнимая часть знаменателя дроби становится равной нулю и это увеличение больше на низких частотах. Если резонанская частота второн полости ячейки решетки выше первой, то резонанская частота двойной решетки равна: •  $M_1 - \operatorname{ctg} k (t_1 + t_2) = 0$ .

**Метод** 3. В рассматриваемом случае, принцмая импедане на входе равным  $Z_{\rm m}$  — а в перегородке ячейки двухрядной дифрешетки —  $Z_{\rm p}$  (рис. 1 в), если импедансы  $Z_{\rm m}$  и  $Z_{\rm p}$  реак ивиме, получаем:  $Z_{\rm nt} = f Y_{\rm ax}$ ;  $Z_{\rm p} = f Y_{\rm m}$ , где значения  $Y_{\rm m}$  и  $Y_{\rm p}$  могут быть положительными (инерционное сопрозналение) или отрицательными (упругое сопротивление). Реактивная компонента импедан и в этом случае равна:

$$Y_{p_i} = 2j W_0 \frac{S_{ax_{i+1}}^2}{S_i^2} + Y_{p_{i+r}} \left( \frac{Y_{ax_{i+r}} + 4Y_{p_{i+r}}}{Y_{ax_{i+r}}} \right)^{-\frac{1}{2}}$$

Если  $Y_{\rm nv}$  и Y одинакового знака, то сhy > 1 и  $\gamma$  будет вещественным. Ячейка дифрешетки будет ослаблять амплитуду звуковой волии, не изменяя фазы. Если  $Y_{\rm nv}$  и Y разного знака, то величина chy < 1 и может ста в меньше иуля, в этом случае величина будет комплексной величиной  $\gamma = \alpha + j\beta$ , z = постоянная затухания звуковой волиы,  $\beta = \frac{1}{C}$  фазовая постоянная, рассчитанная на одих ичейку перегородки дифре етки. Чтобы  $\alpha$  имело вещественное значение, должно соблюдаться  $0 \approx \frac{1}{C} \ll 4$ , и этом случае звуковая волиа имее: область прохождения, а при  $\frac{|Y_{\rm p}|}{|Y_{\rm p}|} = 4$  область звукопоглощения.

В реальных резонаторах удается осуществить иперционный импеданс последовательной цени лишь при низких частотах. При повышенных

частотах изменение происходит по  $Z_{nx} = I - \frac{W}{S}$  ig  $\left(\frac{2\pi I}{\lambda}\right)$ . поэтому

входной импеданс  $Z_{\rm ex}$  становится отрицательным и имеет несколько областей частот прохождения и звукопоглощения. При установке в резонирующую полость однорядной или трехрядной дифрешеток с двумя или тремя входными отверстиями в лицевой поверхности резонатора, реактивные компоненты импеданся равны:

$$Y_{\text{B}_2} = 0.5j \, W_0 \, \frac{S_{\text{B}X_{1:2}}^2}{S_3^2} \, Y_{\text{B}X_{1:2}} \left( \frac{Y_{\text{B}X_{1:2}} + 4 \, Y_{\text{prot}}}{Y_{\text{B}X_{1:2}}} \right)^{-\frac{1}{2}}$$
(4)

$$Y_{p_3} = j W_0 \frac{S_{p_{X_{10}}}^2}{S_A^2} \left( 0.5 Y_{p_{X_{10}}} + 4 Y_{p_{10}} \right) \left( \frac{Y_{p_{X_{10}}} + 4 Y_{p_{10}}}{Y_{p_{X_{10}}}} \right)^{-\frac{1}{2}}$$
(5)

Присоединенная масса воздуха во входиом отверстии  $M_{\rm вх...}$ , масса листа лицевой поверхности резонатора  $M_{\rm up}$  и присоединенная масса несоосных отверстий для двухрядной или трехрядной дифрешетки  $M_{\rm up}$  определяются из следующих выражений:

$$M_{\text{max}} = \frac{M_{\text{max}} M_{\text{m}}}{M_{\text{max}} + M_{\text{m}}}; \qquad M_{\text{p}} = \frac{2M_{\text{max}} M_{\text{mp}}}{2M_{\text{max}} + M_{\text{mp}}};$$

$$M_{\text{m}} = \frac{3M_{\text{max}} M_{\text{m}}}{3M_{\text{max}} + M_{\text{m}}}; \qquad M_{\text{p}} = \frac{3M_{\text{max}} M_{\text{mp}}}{3M_{\text{max}} + M_{\text{mp}}};$$

$$M_{\text{max}} = \rho \left[ t_{1,2} \left( 1.13 \frac{t_{1,2}}{D_{\text{max}}} - 1.21 \right) + 1.27 h \left( \frac{t_{1,2}}{D_{\text{max}}} \right)^{2} \right];$$

$$M_{\text{max}} = \rho_{\text{m}} h \left[ 1 - 0.785 \left( \frac{D_{\text{max}}}{t_{1,2}} \right)^{2} \right];$$

$$M_{\text{max}} = \rho \left[ t_{\text{p}} \left( 1.13 \frac{t_{\text{p}}}{D_{\text{max}}} - 1.21 \right) + 1.27 h \left( \frac{t_{\text{p}}}{D_{\text{max}}} \right);$$

$$M_{\text{max}} = \rho_{\text{m}} h \left[ 1 - 0.785 \left( \frac{D_{\text{max}}}{t_{\text{p}}} \right)^{2} \right];$$

(6)

где р,  $\theta_{\rm M}$  — соответственно илотности воздуха ( $\nu=1,29\cdot 10^{-3}$  г см²) и материала резонатора: фанеры =0.5-1.0 г см; оргстекла  $\theta_{\rm opt}=$  =0.9-1 г см²; алюминия  $\theta_{\rm A1}=2.7$  г см — шаг перфорации верхней и инжией лицевой поверхностях резонатора ( $t_1=25$  см.  $t_p=5$  см.  $t_p=7.5$  гм); h=0.5 см — толшина степок резонатора).

Обозначая конструктивные размеры элемента в зависимости от падающей дляны звуковой водны  $\lambda_i$  получаем:

$$H = \frac{L}{\lambda}; \quad h = \frac{l}{\lambda}; \quad kl = 2\pi h; \quad \phi M = 2\pi dh;$$

$$\frac{Mc}{l} = d; \quad R = \frac{r_1 D^2}{\pi d^2}; \quad r_1^2 = \frac{M}{l}.$$

Имея значения R и Y при нормальном падении звука, получаем коэффициент звукопоглошения:

$$\alpha(f) = 4R W_{\odot} (R + W_{\odot})^2 + [2\pi dh - W_{\odot} \operatorname{etg} (2\pi h)]^2 ^{-1}.$$

Расчет випедаты ых характеристик, производимых ат формулам (1)—(6), определяли на ЭВМ СМ-4 по программе ФОРТРАН-4. С целью проверки достоверности полученных теоретических результатов были проведены эксперименты и инакочастотном антерферометри ИНИСФ (рис. 2). Из сравнения величии  $Y_{\rm cut}$  и видно, что реактивная компонента импедата проходит ерез нуль несколько раз, характеризуя резонансные частоты ОМНРЗП Результирующий реактане имеет нулевое значение при более назкой частоге, чем у существующих объемных резонансных зауконоглотите, ен.

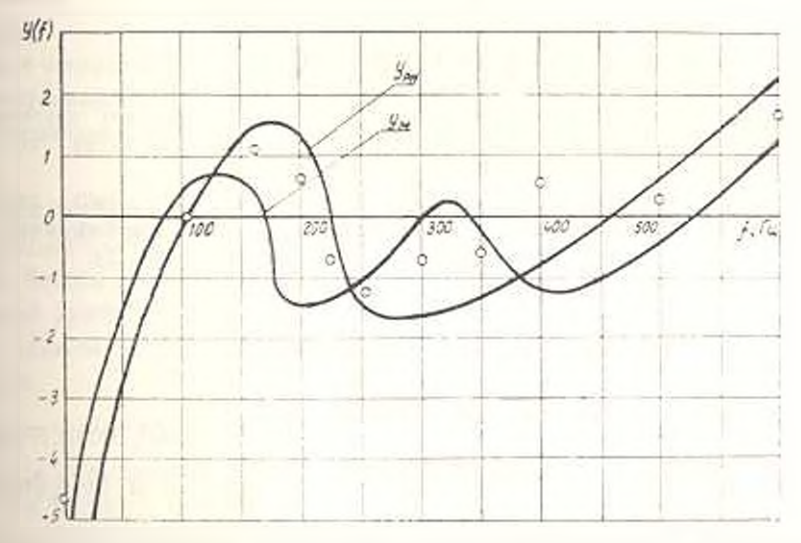


Рис. 2. Частотная характеристика реактивных компонент импеданса поверхности ОМПРЗП  $_{\star}^{\star}Y$ , (кривая 1) и  $Y_{\rm M}$  (кривая 2), рассчитанных по методам 1, 2 при падении идоской знуковой водны со стороны одного входного отверстия: o-o-o-o-экспериментальные значения Y.

Из рис. 2 видно, что Y имеет частоты резонанса 80, 315 и 500 Fg, определенные по методу 1 согласно формуле (1) и 85, 315, 515 Fg—определенные по метолу 2 и формуле (2) и г. д.

Результаты проведенного исследования не дают заметного расхождения и находятся в пределах (7—13)% в днапазоне частот (63—630) Гц. за исключением частот (200 и 400) Гц. где относительная ошибка превосходит 20%. Совпадение расчетных и опытных данных дает основание предполагать, что предложенный метод определения импеданеных характеристик ОМПРЗП является надежным при проектировании низкочастотных резонансных звуконоглотителей.

ЕрПИ им К. Маркса

3 VI. 1985 -

### ՅՈՒ. Ա. ԳԱՍՊԱՐՅԱՆ

տեցնենններ ենրգրե Գրարսկցինե Ձևենը նշենննիթենիենը երև ՉԱՅՆԱԳԻՏԱԿԱՆ ՀԱՏԿՈՒԹՅՈՒՆԵՐԻ ՎՐԱ

### Udhnhaid

Դիտարկված է ներբին դիֆրակցիոն ընդ-նատ ցանցի երկրաչափական պարաժետրերի ազդեցությունը նրա ձայնագիտական Հատկությունների վրա։ Ստացված են ծավալային ցածր Հաճախականության բաղմառեզոնանսաւին ձայնակլանիչի (ԾՇՀԻՈՉ) հիմնական ռեզոնանսային հաճախականությունները՝ կախված ընկնող ձայնային ալիբի երկարությունից։ Բացահայտված է ստացված ձայնագիտական Լֆեկտի արդյունըների օգտագործման հնարավորությունը փոքր ծավայաչափի ԾՑՀՐՌՉ-ի ստեղծման ժամանակ։

#### JHTEPATYPA

- 1 Гиспирям Ю. Решение волновии урганев илля вал ого вкустического засмента, загружевного импеданеом // Изв. Ан АрмССР. Серия 1H.—1984. Т. XXXVII. № 6 С. 35—42
- 2 Рэгевкия С. Н. Кург лекшія по теория знуха. М. Изд-го МГУ, 1960. 335 с.
- 3 Muo-Dah-Yon. Theory and design of microperforated panel sound-absorbing constructions Scientica cinica. 1975. — V. 18. — № 1. — P. 55 71.

Иза. АН АрмССР (сер. ТН), v. XL, 15 6, 1987

СТРОИТЕЛЬНЫЕ КОНСТРУКЦИЕ

В. С. АБРАМОВ, Г. В. БАДЕЯН, С. А. АМБАРЦУМЯН, В. И. ГРИГОРЯН

# О ВЛИЯНИИ ТЕМПЕРАТУРНОГО КОЭФФИЦИЕНТА СОПРОТИВЛЕНИЯ ЭЛЕКТРОНАГРЕВАТЕЛЕЙ НА ТЕМПЕРАТУРУ БЕТОНА ПРИ ЕГО ОБОГРЕВЕ

Для ограниченного интервала температур зависимость, омического сопротивления электрических нагревателей, применяемых в греющих опалубках и термоформах, от температуры можно выразить функцией [1]: